

3.12 Исследование микроструктуры комбинированных ветчинных изделий

А.Г.ЗАБАШТА, Н.Н.ЛИПАТОВ, Р.М.ИБРАИМОВ, Т.П.БУСЛАЕВА,  
А.В.БРИМОВ, Е.И.ТИТОВ

Московский технологический институт мясной и молочной  
промышленности, Москва, СССР

Проведено изучение микроструктуры традиционных (контроль) и  
комбинированных (спец) ветчинных изделий с помощью световой  
микроскопии, а также изучен микрорельеф поверхности мышечных  
волокон мясного сырья, являющегося структурой и белковой ос-  
новой ветчинных изделий.

Образцы проб контрольного и опытного материала размером  
10x10x5 мм фиксированы 20%-ным раствором нейтрального формалина.  
Срезы толщиной 10-15 мкм получали на замораживающем микротоме  
и окраивали гематоксилином-эозином и суданом III. Фотографиро-  
вание проводили с увеличением x90 на МБС-1б. Для сканирующей  
электронной микроскопии образцы, подготовленные по обще-  
принятой методике, напыляли золотом, после чего просматривали  
и фотографировали на электронном микроскопе JEOL 101M-50A  
при инструментальном увеличении (x2500-x12500).

На фото 1 гистологического среза ветчины (контроль) видны зоны  
мышечных волокон разного сечения (а), поры (б), жировая  
ткань (в) и прослойки соединительной ткани (г).  
При просмотре образцов под микроскопом (x160, x480) отчетливо  
видна продольная и поперечная исчерченность, многие мышечные  
волокна набухают, ядра палочковидные слабо контурированные,  
границы между волокнами сохранены, особенно в зонах с продоль-  
ными мышечными волокнами. Имеются разрывы и трещины, запол-  
ненные белковыми зернистым веществом. В некоторых местах за-  
 счет механического сжатия при формировании в оболочку куски  
сырая таинственно сближены, что нет связующих прослоек между  
ними. Наблюдаются нарушение сарколеммы мышечных волокон, сопро-  
вождающееся выходом белковых веществ, распределенных в про-  
дукте. Отмечено также наличие пор разного размера и формы. Мел-  
кие и средние поры заполнены оксицидным белковым веществом,  
 крупные поры чаще открыты. Вокруг пор находятся капельки жира,  
 скопления мышечных волокон.

Под окраске гистологических срезов суданом III под микроскопом  
(x160, x480) видны жировые клетки интенсивно желтого цвета;  
клетки крупные, округлые, расположены дискретно. В клетках на  
фоне желтого цвета отчетливо заметны мелкие оранжево-красные  
структуры триглицеридов. В отдельных пространствах между мы-  
шечными волокнами жировые клетки расположены в виде цепочек.  
Более наглядно явление нарушения сарколеммы мышечных волокон,  
сопровождающееся выходом белковых веществ, прослеживается с  
помощью сканирующей электронной микроскопии.  
На фото 2 показан увеличенный в 12500 раз фрагмент мышечного  
волокна с участком нарушения сарколеммы (а) множеством белко-  
вых глобул: дискретных (б) и собранных в агрегаты (в).

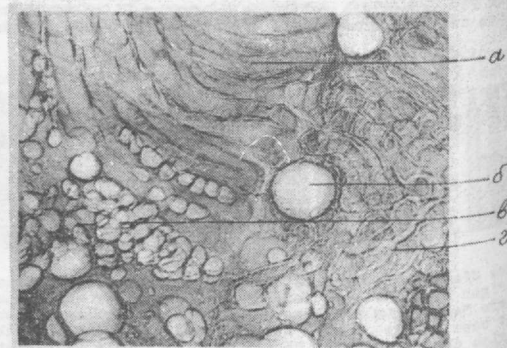


Фото 1. Гистоструктура ветчины (контроль)  
Fig. I. Ham histostructure (control)

- а) мышечные волокна; muscle fibres
- б) поры pores
- в) жировая ткань adipose tissue
- г) прослойки соединительной ткани connective tissue layers

x 90

При просмотре и изучении гистологических срезов комбинированной ветчины (спец) четко видна связующая субстанция между кусками сырья. Световая микроскопия дает возможность наблюдать гистологическую структуру макро-“гомогенной” субстанции, содержащей соевые белки и расположившиеся между отдельными кусками сырья.

На фото 3 гистологического среза макро-“гомогенной” субстанции комбинированной ветчины видна плотно скомпонованная зернисто-волокнистая масса (а), она заполняет имеющиеся пространства, обнажающие поры (б), участки с мышечными волокнами (в). При просмотре образцов под микроскопом (x160, x480) обнаружено, что границы между мышечными волокнами сохранены, в зонах с продольными мышечными волокнами наблюдается сжатие волокон и участки с нарушениями сарколеммы. Между волокнами много цепелевых пространств, заполненных белковым зернистым веществом. Поры разного размера и формы. Крупные поры чаще открыты. С помощью световой микроскопии соевые белки идентифицировать не удалось.

На фото 4 при увеличении в 2500 раз детально показана картина продольной поверхности мышечных волокон комбинированной ветчины, обнаруженных в макро-“гомогенной” прослойке: рельеф сарколеммы мышечных волокон издревле (а), одно из них имеет поврежденную сарколемму (б), под которой видна сеть тонких белковых волокон (в), между ними хорошо заметны щелевидные пространства (г).

Густая сеть белковых волокон, находящихся под разрушенной сарколеммой более наглядно представлена на фото 5 при увеличении x12500 раз: сарколемма (а); белковые волокна (б).

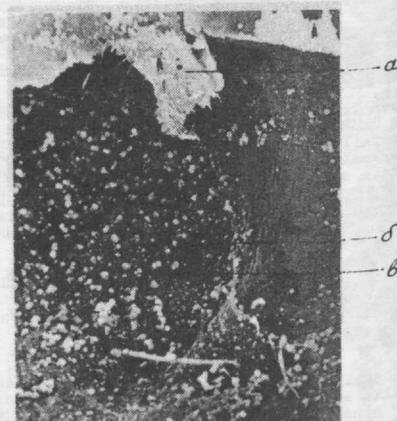


Фото 2. Нарушение сарколеммы мышечного волокна  
Fig. 2. Destruction of muscle fiber sarcolemma

- а) - отдельный фрагмент сарколеммы  
sarcolemma fragment
- б) - дискретные белковые глобулы  
discreted protein globules
- в) - агрегированные белковые глобулы  
aggregated protein globules

x 12500

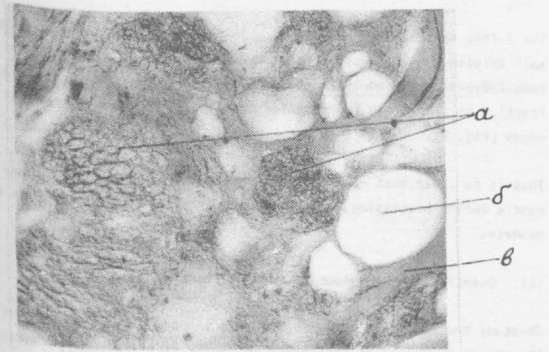


Фото 3. Гистоструктура комбинированной ветчины (опыт)  
Fig. 3. Combined ham hystostructure (test)

- a) - зернисто-волокнистая масса связующей субстанции между кусками сырья  
granular-fibrous binding substance between raw material pieces
- б) - поры  
pores
- в) - мышечные волокна  
muscle fibres

$\times 90$

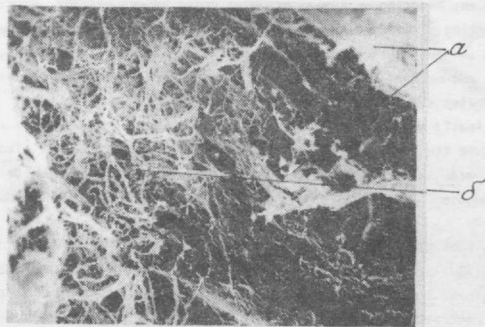


Фото 5. Нарушене сарколеммы мышечного волокна комбинированной ветчины (опыт)  
Fig. 5. Destruction of combined ham muscle fiber sarcolemma (test)

- а) - фрагменты разрушенной сарколеммы  
fragments of damaged sarcolemma
- б) - сеть белковых волокон  
protein filaments network

$\times 12500$

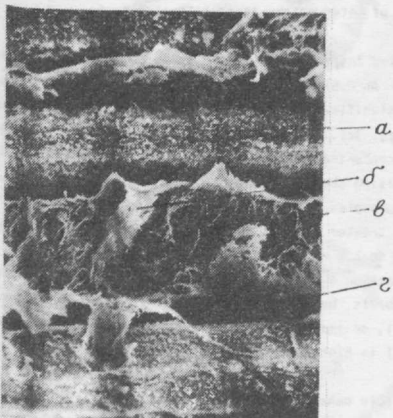


Фото 4. Микрорельеф продольной поверхности комбинированной ветчины (опыт)  
Fig. 4. Microrelief of combined ham longitudinal surface (test)

- а) - ноздреватый микрорельеф сарколеммы мышечного волокна  
porous microrelief of muscle fiber sarcolemma
- б) - повреждение сарколеммы  
sarcolemma damage
- в) - сеть белковых волокон  
protein filaments network
- г) - щелевидные пространства между мышечными волокнами  
slit type spaces between muscle fibers

$\times 2500$